

Геофизика

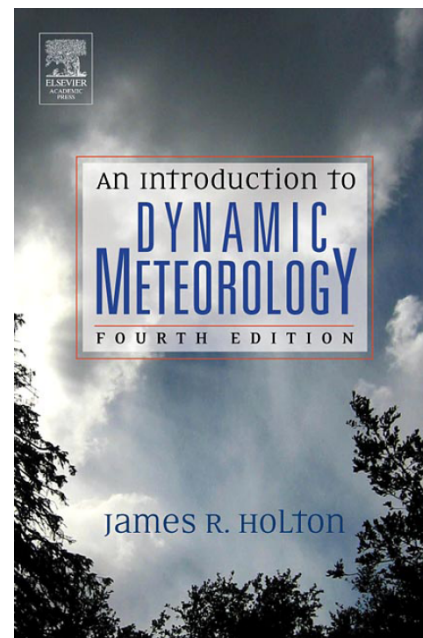


2024 Лекция № 10

Елисеев Алексей Викторович
отделение геофизики, физический факультет МГУ

<http://ocean.phys.msu.ru/courses/geo/>
также: <https://cloud.mail.ru/public/x84v/K9EfwZ8zV>

Динамические процессы и циркуляция атмосферы Земли

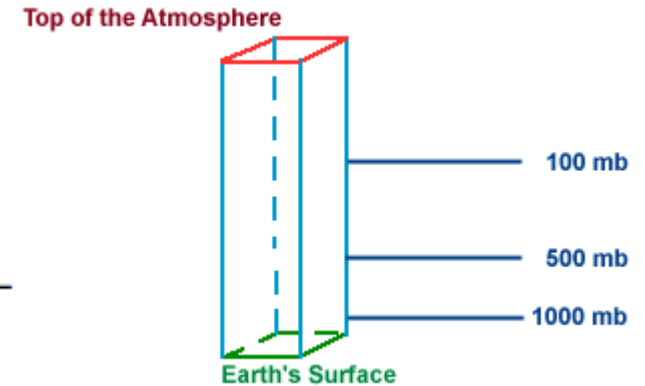


Уравнения движения вращающейся жидкости

Координаты: (ϕ – широта, λ – долгота, p – давление)
или: (ϕ – широта, λ – долгота, z – высота)

уравнения Навье–Стокса (закон сохранения импульса)

$$\frac{D\mathbf{U}}{Dt} = -2\boldsymbol{\Omega} \times \mathbf{U} - \frac{1}{\rho} \nabla p + \mathbf{g} +$$



уравнение неразрывности (закон сохранения массы)

$$\frac{1}{\rho} \frac{D\rho}{Dt} + \nabla \cdot \mathbf{U} = 0$$

термодинамическое уравнение (закон сохранения энергии)

$$c_v \frac{DT}{Dt} + p \frac{D\alpha}{Dt} = J$$

материальная производная

$$\frac{D}{Dt} \equiv \frac{\partial}{\partial t} + \mathbf{U} \cdot \nabla$$

компоненты скорости \mathbf{U} : $u \equiv r \cos \phi \frac{D\lambda}{Dt}$, $v \equiv r \frac{D\phi}{Dt}$, $w \equiv \frac{Dz}{Dt}$

Упрощение уравнений динамики: гидростатика (1)

$$\frac{Dw}{Dt} - \frac{u^2 + v^2}{a} = -\frac{1}{\rho} \frac{\partial p}{\partial z} - g + 2\Omega u \cos \phi + F_{rz}$$

Масштабы величин погодных вариаций в атмосфере

горизонтальная скорость:	$U \sim 10 \text{ м/с}$	
вертикальная скорость:	$W \sim 1 \text{ см/с}$	
горизонтальный масштаб:	$L \sim 10^6 \text{ м}$	(масштаб Кибеля–Россби)
вертикальный масштаб:	$H \sim 10^4 \text{ м}$	
вариации давления:	$\delta P / \rho \sim 10^3 \text{ м}^2/\text{с}^2$	
время:	$L / U \sim 10^5 \text{ с}$	

z - Eq.	Dw/Dt	$-2\Omega u \cos \phi$	$-(u^2 + v^2)/a$	=	$-\rho^{-1} \partial p / \partial z$	$-g$	$+F_{rz}$
Scales	UW/L	$f_0 U$	U^2/a		$P_0/(\rho H)$	g	νWH^{-2}
m s^{-2}	10^{-7}	10^{-3}	10^{-5}		10	10	10^{-15}



$$\frac{1}{\rho_0} \frac{dp_0}{dz} \equiv -g$$

Упрощение уравнений динамики: гидростатика (2)

Однако это доказательство только для атмосферы без движений!

Если есть движения, то

$$p(x, y, z, t) = p_0(z) + p'(x, y, z, t)$$

$$\rho(x, y, z, t) = \rho_0(z) + \rho'(x, y, z, t)$$

$$|p'| \ll p_0, |\rho'| \ll \rho_0$$

$$\begin{aligned} -\frac{1}{\rho} \frac{\partial p}{\partial z} - g &= -\frac{1}{(\rho_0 + \rho')} \frac{\partial}{\partial z} (p_0 + p') - g \\ &\approx \frac{1}{\rho_0} \left[\frac{\rho'}{\rho_0} \frac{dp_0}{dz} - \frac{\partial p'}{\partial z} \right] = -\frac{1}{\rho_0} \left[\rho' g + \frac{\partial p'}{\partial z} \right] \end{aligned}$$

$$\frac{1}{\rho_0} \frac{\partial p'}{\partial z} \sim \left[\frac{\delta P}{\rho_0 H} \right] \sim 10^{-1} \text{ m s}^{-2}, \quad \frac{\rho' g}{\rho_0} \sim 10^{-1} \text{ m s}^{-2}$$



$$\frac{\partial p'}{\partial z} + \rho' g = 0$$

Упрощение уравнений динамики: геострофика (1)

$$\frac{Du}{Dt} - \frac{uv \tan \phi}{a} + \frac{uw}{a} = -\frac{1}{\rho} \frac{\partial p}{\partial x} + 2\Omega v \sin \phi - 2\Omega w \cos \phi + F_{rx}$$

$$\frac{Dv}{Dt} + \frac{u^2 \tan \phi}{a} + \frac{vw}{a} = -\frac{1}{\rho} \frac{\partial p}{\partial y} - 2\Omega u \sin \phi + F_{ry}$$

Масштабы величин погодных вариаций в атмосфере

горизонтальная скорость:	$U \sim 10$ м/с	
вертикальная скорость:	$W \sim 1$ см/с	
горизонтальный масштаб:	$L \sim 10^6$ м	(масштаб Кибеля–Россби)
вертикальный масштаб:	$H \sim 10^4$ м	
вариации давления:	$\delta P / \rho \sim 10^3$ м ² /с ²	
время:	$L / U \sim 10^5$ с	

	A	B	C	D	E	F	G
$x - \text{Eq.}$	$\frac{Du}{Dt}$	$-2\Omega v \sin \phi$	$+2\Omega w \cos \phi$	$+\frac{uw}{a}$	$-\frac{uv \tan \phi}{a}$	$= -\frac{1}{\rho} \frac{\partial p}{\partial x}$	$+F_{rx}$
$y - \text{Eq.}$	$\frac{Dv}{Dt}$	$+2\Omega u \sin \phi$		$+\frac{vw}{a}$	$+\frac{u^2 \tan \phi}{a}$	$= -\frac{1}{\rho} \frac{\partial p}{\partial y}$	$+F_{ry}$
Scales	U^2/L	$f_0 U$	$f_0 W$	$\frac{UW}{a}$	$\frac{U^2}{a}$	$\frac{\delta P}{\rho L}$	$\frac{vU}{H^2}$
(m s ⁻²)	10^{-4}	10^{-3}	10^{-6}	10^{-8}	10^{-5}	10^{-3}	10^{-12}

Упрощение уравнений динамики: геострофика (2)

$$-fv \approx -\frac{1}{\rho} \frac{\partial p}{\partial x}; \quad fu \approx -\frac{1}{\rho} \frac{\partial p}{\partial y}$$

в векторной форме

$$\mathbf{V}_g \equiv \mathbf{i}u_g + \mathbf{j}v_g$$

$$\mathbf{V}_g \equiv \mathbf{k} \times \frac{1}{\rho f} \nabla p$$

Упрощение уравнений динамики: квазигеострофика (1)

Масштабы величин погодных вариаций в атмосфере

горизонтальная скорость:	$U \sim 10 \text{ м/с}$	
вертикальная скорость:	$W \sim 1 \text{ см/с}$	
горизонтальный масштаб:	$L \sim 10^6 \text{ м}$	(масштаб Кибеля–Россби)
вертикальный масштаб:	$H \sim 10^4 \text{ м}$	
вариации давления:	$\delta P / \rho \sim 10^3 \text{ м}^2/\text{с}^2$	
время:	$L / U \sim 10^5 \text{ с}$	

	A	B	C	D	E	F	G
$x - \text{Eq.}$	$\frac{Du}{Dt}$	$-2\Omega v \sin \phi$	$+2\Omega w \cos \phi$	$+\frac{uw}{a}$	$-\frac{uv \tan \phi}{a}$	$= -\frac{1}{\rho} \frac{\partial p}{\partial x}$	$+F_{rx}$
$y - \text{Eq.}$	$\frac{Dv}{Dt}$	$+2\Omega u \sin \phi$		$+\frac{vw}{a}$	$+\frac{u^2 \tan \phi}{a}$	$= -\frac{1}{\rho} \frac{\partial p}{\partial y}$	$+F_{ry}$
Scales	U^2/L	$f_0 U$	$f_0 W$	$\frac{UW}{a}$	$\frac{U^2}{a}$	$\frac{\delta P}{\rho L}$	$\frac{vU}{H^2}$
(m s^{-2})	10^{-4}	10^{-3}	10^{-6}	10^{-8}	10^{-5}	10^{-3}	10^{-12}



$$\frac{Du}{Dt} = fv - \frac{1}{\rho} \frac{\partial p}{\partial x} = f(v - v_g)$$

$$\frac{Dv}{Dt} = -fu - \frac{1}{\rho} \frac{\partial p}{\partial y} = -f(u - u_g)$$

Упрощение уравнений динамики: квазигеострофика (2)

Число Кибеля–Россби

$$R_0 \equiv (U^2/L)/(f_0 U) \equiv U/(f_0 L)$$

$$f_0 = 2 \Omega \sin \phi_0$$

$$R_0 \sim 10^{-1}$$

Уравнение гидротермодинамики: изобарические координаты

Вертикальная координата – давление p

$$\frac{D\mathbf{V}}{Dt} + f\mathbf{k} \times \mathbf{V} = -\nabla_p \Phi$$

$\Phi = g H$ – геопотенциал

$$\frac{D}{Dt} = \frac{\partial}{\partial t} + u \frac{\partial}{\partial x} + v \frac{\partial}{\partial y} + \omega \frac{\partial}{\partial p}$$

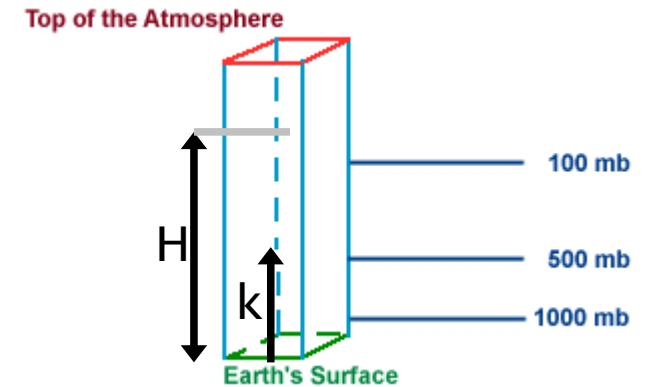
вертикальная скорость:

$$\omega \equiv Dp/Dt$$

$$\left(\frac{\partial u}{\partial x} + \frac{\partial v}{\partial y} \right)_p + \frac{\partial \omega}{\partial p} = 0$$

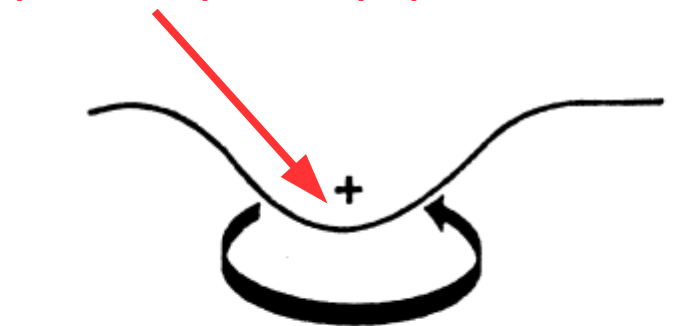
Геострофическое приближение:

$$f\mathbf{V}_g = \mathbf{k} \times \nabla_p \Phi$$

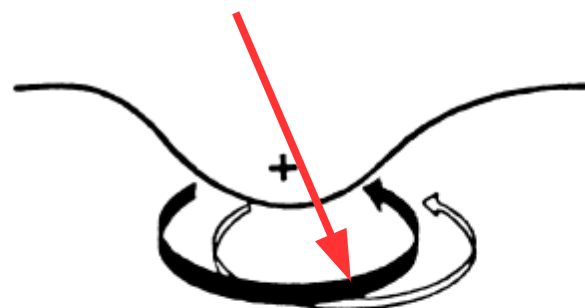


Бароклинная неустойчивость

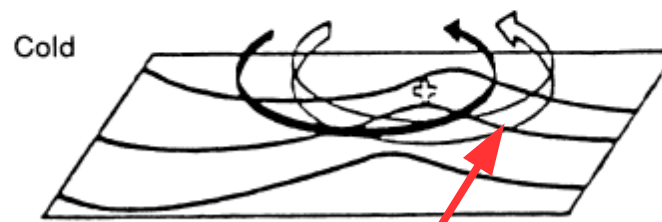
1. Аномалия завихренности $\delta\zeta > 0$ в верхней тропосфере



4. Аномалия $\delta\zeta > 0$ проникает в верхнюю атмосферу и усиливает начальную аномалию.



(a)



(b)

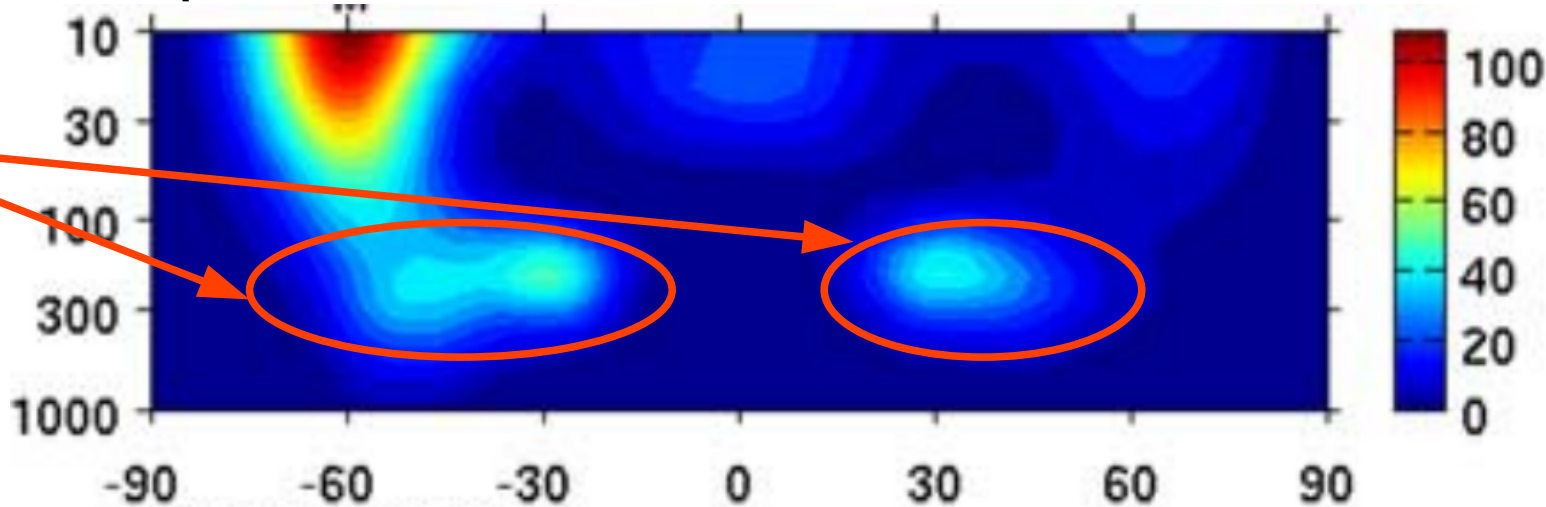
2. $\delta\zeta < 0$ в нижней тропосфере

3. Адвекция потенциальной температуры приводит к аномалии $\delta T > 0$ к востоку от начальной аномалии завихренности

Среднезональные среднегодовые величины, реанализ ERA-40 [Li et al., 2007]

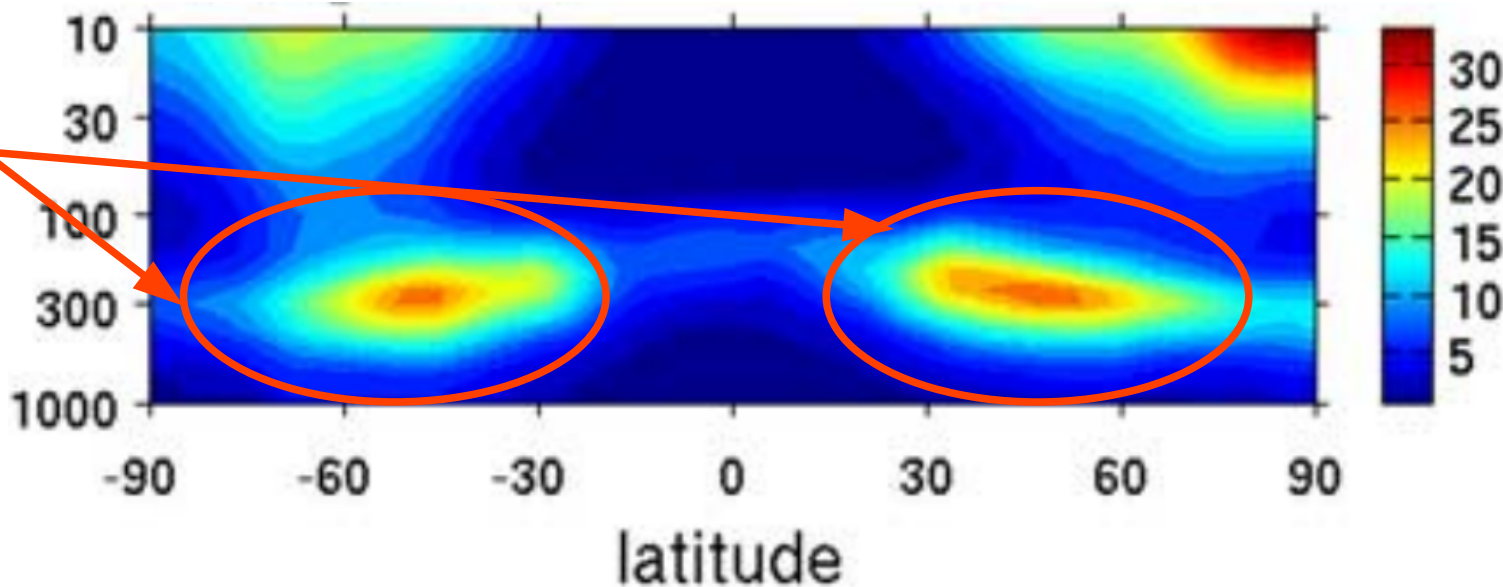
Кинетическая энергия базового (зонального потока), 10^5 Дж/(м² · атм)

струйные
течения
тропосферы



Кинетическая энергия незональных возмущений (вихрей), 10^5 Дж/(м² · атм)

шторм-треки
тропосферы
(преобладающие
области
циклонической
активности)



Завихрённость

В абсолютных координатах (с учётом вращения Земли): $\boldsymbol{\omega}_a \equiv \nabla \times \mathbf{U}_a$,

Относительная (относительно вращающейся Земли): $\boldsymbol{\omega} \equiv \nabla \times \mathbf{U}$

$$\boldsymbol{\omega} = \left(\frac{\partial w}{\partial y} - \frac{\partial v}{\partial z}, \frac{\partial u}{\partial z} - \frac{\partial w}{\partial x}, \frac{\partial v}{\partial x} - \frac{\partial u}{\partial y} \right)$$

В физике атмосферы доминируют вертикальные компоненты

$$\eta \equiv \mathbf{k} \cdot (\nabla \times \mathbf{U}_a),$$

$$\zeta \equiv \mathbf{k} \cdot (\nabla \times \mathbf{U})$$

$$\zeta = \frac{\partial v}{\partial x} - \frac{\partial u}{\partial y}, \quad \eta = \frac{\partial v}{\partial x} - \frac{\partial u}{\partial y} + f$$

$f = 2 \Omega \sin \phi$ – планетарная
завихрённость

Уравнение завихрённости

$$\frac{D_h (\zeta + f)}{Dt} = - (\zeta + f) \left(\frac{\partial u}{\partial x} + \frac{\partial v}{\partial y} \right)$$

$$\frac{D_h}{Dt} \equiv \frac{\partial}{\partial t} + u \frac{\partial}{\partial x} + v \frac{\partial}{\partial y}$$

Для бездивергентных движений ($\nabla \cdot \mathbf{U} = 0$)

$$\frac{D_h (\zeta + f)}{Dt} = (\zeta + f) \left(\frac{\partial w}{\partial z} \right)$$



$$\frac{D_h}{Dt} \left(\frac{\zeta_g + f}{h} \right) = 0$$

(h – геопотенциал)

Если движения горизонтальны, то $h = \text{const}$ и справедливо баротропное уравнение потенциальной завихрённости

$$\frac{D_h (\zeta_g + f)}{Dt} = 0$$

Волны Россби

$$\left(\frac{\partial}{\partial t} + u \frac{\partial}{\partial x} + v \frac{\partial}{\partial y} \right) \zeta + \beta v = 0$$

$$\beta = df / dy = a^{-1} df/d\phi \quad (a - \text{радиус Земли})$$

Если у малого объёма в начальный момент t_0

$$\zeta_{t_0} = 0,$$

то при смещении по широте

$$(\zeta + f)_{t_1} = f_{t_0}$$

$$\zeta_{t_1} = f_{t_0} - f_{t_1} = -\beta \delta y$$

$$\delta y = a \sin [k (x - ct)]$$

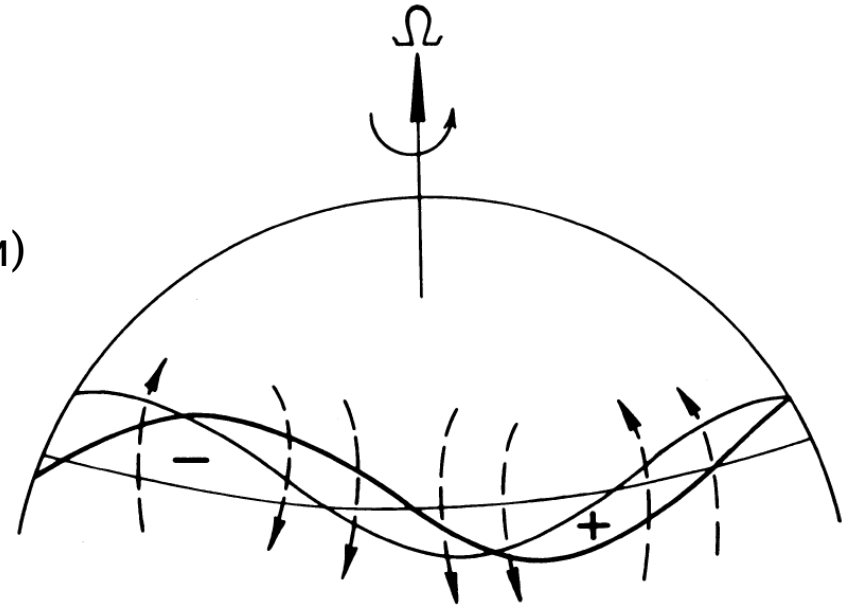
$$v = D(\delta y) / Dt = -kca \cos [k (x - ct)]$$

$$\zeta = \partial v / \partial x = k^2 ca \sin [k (x - ct)]$$

Дисперсионное соотношение:

$$c = -\beta / k^2$$

(фазовая скорость направлена на запад и зависит от волнового числа как k^2)



Линейный анализ: модель Иди (1)

[Charney, 1947: J. Meteorol., 4 (5)]:

VOL. 4, NO. 5

JOURNAL OF METEOROLOGY

OCTOBER 1947

THE DYNAMICS OF LONG WAVES IN A BAROCLINIC WESTERLY CURRENT

By J. G. Charney

[Eady, 1949: Tellus, 1]:

Long Waves and Cyclone Waves

By E. T. EADY, Imperial College of Science, London

(Manuscript received 28 Febr. 1949)

Abstract



Линейный анализ: модель Иди (2)

Закон сохранения квазигеострофической потенциальной завихренности q :

$$\frac{Dq}{Dt} = 0$$
$$q = \left(\frac{\partial^2 \psi}{\partial x^2} + \frac{\partial^2 \psi}{\partial y^2} \right) + f + \frac{\partial}{\partial p} \left(m^2 p^2 \frac{\partial \psi}{\partial p} \right)$$

$$\frac{D(\bullet)}{Dt} = \frac{\partial(\bullet)}{\partial t} + \mathbf{U}_h \cdot \nabla_h(\bullet)$$

$$\mathbf{U}_h = (u, v)$$

$$\nabla_h(\bullet) = \left(\frac{\partial(\bullet)}{\partial x}, \frac{\partial(\bullet)}{\partial y} \right)$$

$f = 2 \Omega \cos \phi$ – параметр Кориолиса,

$m = L_R^{-1}$, $L_R = (g H_0)^{1/2} / f$ – радиус деформации Россби,

ψ – функция тока ($u = -\partial \psi / \partial y$; $v = \partial \psi / \partial x$).

Линейный анализ: модель Иди (3)

Закон сохранения квазигеострофической потенциальной завихренности q :

$$\frac{Dq}{Dt} = 0 \quad q = \left(\frac{\partial^2 \psi}{\partial x^2} + \frac{\partial^2 \psi}{\partial y^2} \right) + f + \frac{\partial}{\partial p} \left(m^2 p^2 \frac{\partial \psi}{\partial p} \right)$$

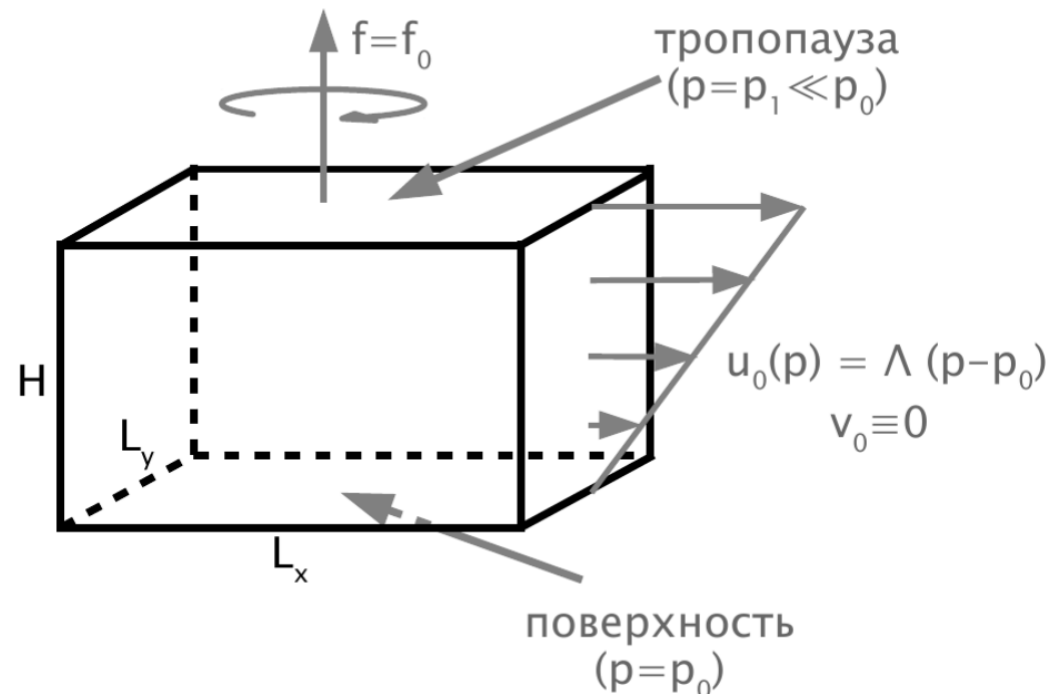
Граничные условия

$$\omega = \frac{dp}{dt} = 0 \text{ при } p = p_0, p_1$$

Профиль зональной скорости

$$u_0(p) = \Lambda (p_0 - p)$$

($\Lambda = \text{const}$)



Дополнительно

- i) Приближение f -плоскости, что позволяет считать влияние вращения не зависящим от точки пространства внутри канала, так что $f \equiv f_0$.
- ii) $n^2 = m^2 p^2 = \text{const}$.
- iii) Рассматриваются только возмущения, для которых $\partial(\bullet)/\partial y = 0$ (это справедливо для канала с достаточно большим меридиональным размером).

Линейный анализ: модель Иди (4)

Функция тока базового потока ($F_0(p)$ – произвольная функция давления)

$$\psi_0 = -u_0(p)y + F_0(p)$$

Потенциальная завихренность базового потока

$$q_0 = \frac{\partial^2 \psi_0}{\partial y^2} + n^2 \frac{\partial^2 \psi_0}{\partial p^2} + f_0 = n^2 \frac{d^2 F_0}{dp^2} - n^2 y \frac{d^2 u_0}{dp^2} + f_0 = n^2 \frac{d^2 F_0}{dp^2} + f_0$$

Разложение

$$q = q_0 + q', \quad \psi = \psi_0 + \psi', \quad u = u_0 + u', \quad v = v', \quad \omega = \omega'$$

Приводит к

$$\frac{\partial q_0}{\partial t} + \frac{\partial q'}{\partial t} + (u_0 + u') \left(\frac{\partial q_0}{\partial x} + \frac{\partial q'}{\partial x} \right) + v' \left(\frac{\partial q_0}{\partial y} + \frac{\partial q'}{\partial y} \right) = 0$$

Линейный анализ: модель Иди (5)

С учётом стационарности базового состояния, выражения для q_0 и предположения iii)

$$\frac{\partial q'}{\partial t} + (u_0 + u') \frac{\partial q'}{\partial x} + v' \frac{\partial q_0}{\partial y} = 0$$

После линеаризации

$$\frac{\partial q'}{\partial t} + u_0 \frac{\partial q'}{\partial x} + v' \frac{\partial q_0}{\partial y} = 0$$

$\partial q_0 / \partial y = 0$, поэтому

$$\frac{\partial q'}{\partial t} + u_0 \frac{\partial q'}{\partial x} = 0,$$

$$q' = \left(\frac{\partial^2 \psi'}{\partial x^2} + \frac{\partial^2 \psi'}{\partial y^2} \right) + \frac{\partial}{\partial p} \left(m^2 p^2 \frac{\partial \psi'}{\partial p} \right) = \frac{\partial^2 \psi'}{\partial x^2} + n^2 \frac{\partial^2 \psi'}{\partial p^2}$$

Линейный анализ: модель Иди (6)

$$\frac{\partial q'}{\partial t} + u_0 \frac{\partial q'}{\partial x} = 0$$

$$q' = \left(\frac{\partial^2 \psi'}{\partial x^2} + \frac{\partial^2 \psi'}{\partial y^2} \right) + \frac{\partial}{\partial p} \left(m^2 p^2 \frac{\partial \psi'}{\partial p} \right) = \frac{\partial^2 \psi'}{\partial x^2} + n^2 \frac{\partial^2 \psi'}{\partial p^2}$$

Граничные условия

$$\omega' = 0 \text{ при } p = p_0, p_1$$

Решение в виде нормальной моды

$$\psi' = \Psi'(p) \exp\left(ik_x(x - ct)\right)$$
$$c = c_r + i c_i \text{ ,}$$

так что

$$\psi' = \Psi'(p) e^{k_x c_i t} e^{ik_x(x - c_r t)}$$

(скорость роста определяется $k_x c_i$)

Линейный анализ: модель Иди (7)

$$\psi' = \Psi'(p) \exp(ik_x(x - ct))$$

$$q' = -k_x^2 \psi' + \frac{n^2}{\Psi'(p)} \frac{d^2 \Psi'}{dp^2} \psi'$$

$$\frac{\partial \psi'}{\partial t} = -ik_x c \psi',$$

$$\frac{\partial \psi'}{\partial x} = ik_x \psi'.$$

Нетривиальные решения ($\Psi(p) \neq 0$):

$$ik_x(u_0 - c) \left(\frac{d^2 \Psi'}{dp^2} - \lambda^2 \Psi'(p) \right) = 0$$

после деления на $u_0 - c$ (при этом исчезает непрерывный спектр волновых решений):

$$\frac{d^2 \Psi'}{dp^2} - \lambda^2 \Psi'(p) = 0$$

$$\lambda^2 = k_x^2 / n^2$$

Линейный анализ: модель Иди (8)

$$\frac{d^2\Psi'}{dp^2} - \lambda^2\Psi'(p) = 0$$

Общее решение

$$\Psi'(p) = \Psi'_1 \operatorname{ch}(\lambda p) + \Psi'_2 \operatorname{sh}(\lambda p)$$

справка:

$$\operatorname{sh} x = (e^x - e^{-x}) / 2$$

$$\operatorname{ch} x = (e^x + e^{-x}) / 2$$

$$\operatorname{ch}^2 x - \operatorname{sh}^2 x = 1$$

Из термодинамического уравнения

$$gp^2 \frac{D}{Dt} \left(\frac{\partial \Phi}{\partial p} \right) + \alpha^2 c_0^2 \omega = 0$$

(g – ускорение свободного падения, Φ – геопотенциал, α – коэффициент сжимаемости атмосферы, c_0 – фазовая скорость длинных гравитационных волн) и граничных условий

$$\omega' = 0 \text{ при } p = p_0, p_1$$

получаем

$$\frac{D}{Dt} \left(\frac{\partial \Phi'}{\partial p} \right) = 0$$

Линейный анализ: модель Иди (9)

С учётом геострофических соотношений на f -плоскости ($f = f_0$):

$$f_0 v = \frac{\partial \Phi}{\partial x}, \quad f_0 u = -\frac{\partial \Phi}{\partial y}$$

и определения функции тока получаем

$$\frac{D}{Dt} \left(\frac{\partial \psi'}{\partial p} \right) = 0$$

Из этого можно получить (самостоятельное упражнение!)

$$\frac{\partial^2 \psi'}{\partial t \partial p} + u_0 \frac{\partial^2 \psi'}{\partial x \partial p} + \frac{\partial \psi'}{\partial x} \frac{\partial^2 \psi_0}{\partial y \partial p} = 0 \quad \text{при } p = p_0, p_1, \quad ,$$

т. е.

$$\frac{\partial^2 \psi'}{\partial t \partial p} + u_0 \frac{\partial^2 \psi'}{\partial x \partial p} + \Lambda \frac{\partial \psi'}{\partial x} = 0 \quad \text{при } p = p_0, p_1$$

Подставляя решение в виде нормальной моды

$$(u_0 - c) \frac{d\Psi'}{dp} + \Lambda \Psi'(p) = 0 \quad \text{при } p = p_0, p_1$$

Линейный анализ: модель Иди (10)

Итак,

$$\left[(u_{00} - c) \lambda \operatorname{sh} \lambda p_0 + \Lambda \operatorname{ch} \lambda p_0 \right] \Psi_1' + \left[(u_{00} - c) \lambda \operatorname{ch} \lambda p_0 + \Lambda \operatorname{sh} \lambda p_0 \right] \Psi_2' = 0,$$

$$\left[(u_{01} - c) \lambda \operatorname{sh} \lambda p_1 + \Lambda \operatorname{ch} \lambda p_1 \right] \Psi_1' + \left[(u_{01} - c) \lambda \operatorname{ch} \lambda p_1 + \Lambda \operatorname{sh} \lambda p_1 \right] \Psi_2' = 0.$$

$$u_{00} = u_0(p_0), \quad u_{01} = u_0(p_1)$$

$\Psi_1' = \Psi_2' = 0$ – решения. Чтобы были и другие решения, необходимо

$$\begin{aligned} & \left[(u_{00} - c) \lambda \operatorname{sh} \lambda p_0 + \Lambda \operatorname{ch} \lambda p_0 \right] \left[(u_{01} - c) \lambda \operatorname{ch} \lambda p_1 + \Lambda \operatorname{sh} \lambda p_1 \right] - \\ & - \left[(u_{00} - c) \lambda \operatorname{ch} \lambda p_0 + \Lambda \operatorname{sh} \lambda p_0 \right] \left[(u_{01} - c) \lambda \operatorname{sh} \lambda p_1 + \Lambda \operatorname{ch} \lambda p_1 \right] = 0 \end{aligned}$$

⇓

$$c^2 - c(u_{00} + u_{01}) + u_{00}u_{01} + \frac{\Lambda}{\lambda}(u_{01} - u_{00}) \operatorname{cth} \mu - \left(\frac{\Lambda}{\lambda} \right)^2 = 0$$

$$\mu = \lambda (p_0 - p_1)$$

Линейный анализ: модель Иди (1 1)

Уравнение

$$\frac{\partial q'}{\partial t} + u_0 \frac{\partial q'}{\partial x} = 0$$

и граничные условия

$$\omega' = 0 \text{ при } p = p_0, p_1$$

линейны
ним

⇒

можно использовать и комплексно-сопряжённые к



Если существует его решение с некоторым $c^{(1)} = c_r^{(1)} + i c_i^{(1)}$, то существует и решение с $c^{(2)} = c^{(1)*} = c_r^{(1)} - i c_i^{(1)}$.



Для доказательства наличия бароклинной неустойчивости достаточно показать, что есть решения с существенно комплексными c

Линейный анализ: модель Иди (12)

Дискриминант

$$D = (u_{01} - u_{00})^2 \left[1 - \frac{4}{\mu^2} (\mu \operatorname{cth} \mu - 1) \right]$$

С учётом

$$\operatorname{cth} \mu = \frac{1}{2} [\operatorname{th}(\mu/2) + \operatorname{cth}(\mu/2)]$$

имеем

$$D = \frac{4}{\mu^2} (u_{01} - u_{00})^2 \left[\frac{\mu}{2} - \operatorname{cth} \frac{\mu}{2} \right] \left[\frac{\mu}{2} - \operatorname{th} \frac{\mu}{2} \right]$$

Т.к. $\mu/2 \geq \operatorname{th}(\mu/2)$, то D меняет знак при $\mu = \mu_c$:

$$\mu_c/2 = \operatorname{cth}(\mu_c/2) \quad \Rightarrow \quad \mu_c \approx 2.4.$$

При $\mu < \mu_c$ бароклинные возмущения нарастают со временем.

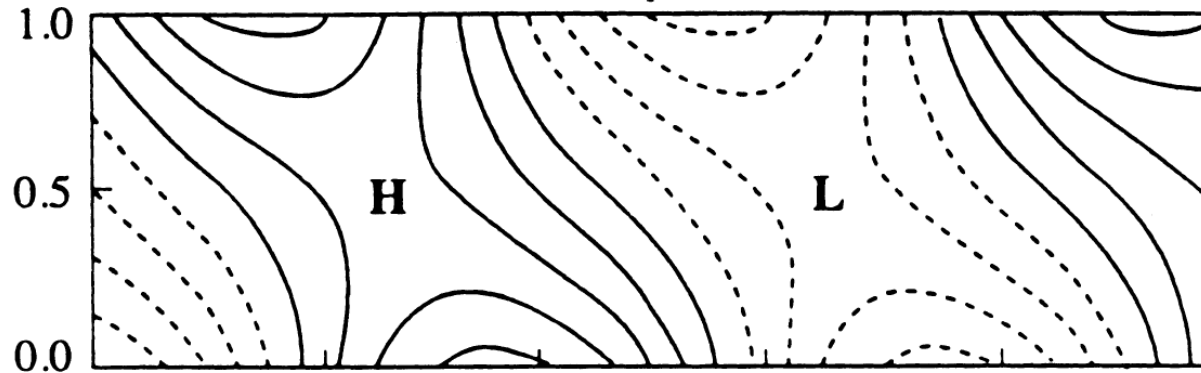
Скорость нарастания этих возмущений

$$k_x c_i = \frac{k_x}{\mu} (u_{01} - u_{00}) \left[\left(\frac{\mu}{2} - \operatorname{cth} \frac{\mu}{2} \right) \left(\frac{\mu}{2} - \operatorname{th} \frac{\mu}{2} \right) \right]^{1/2}$$

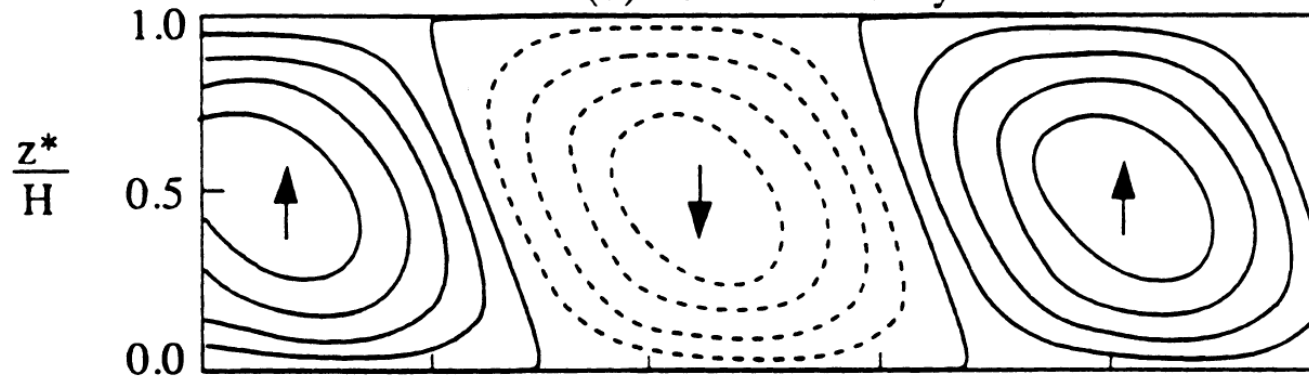
максимальна при $\mu = \mu_m \approx 1.75$.

Линейный анализ: модель Иди (13)

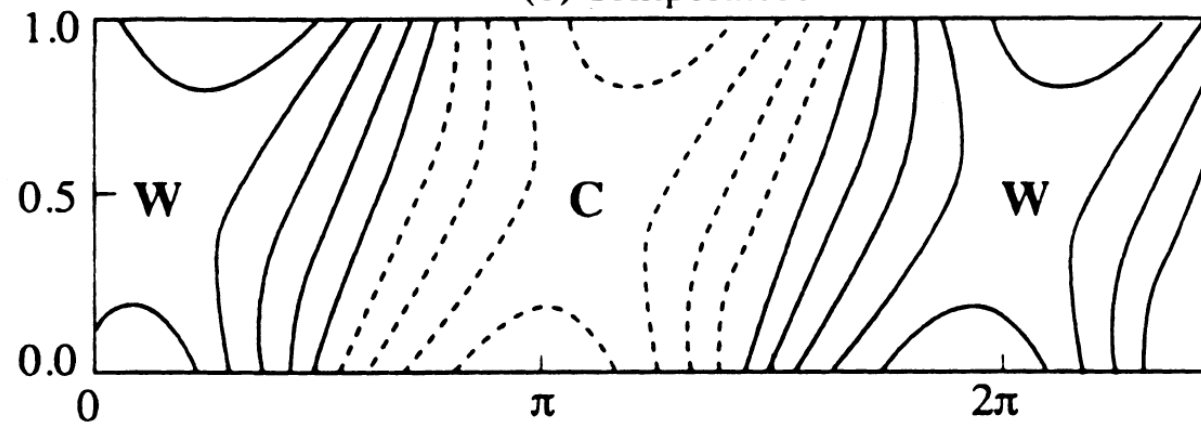
(a) Geopotential



(b) Vertical Velocity



(c) Temperature



Линейный анализ: модель Иди (14)

$$\lambda_m = \mu_m / (p_0 - p_1)$$

$$k_{x,m} = \lambda_m n$$

Длина волны наиболее неустойчивой моды

$$L_m = \frac{2\pi}{k_{x,m}} = \frac{2\pi}{\lambda_m n} = \frac{2\pi}{\lambda_m m p} = \frac{2\pi}{\lambda_m p} L_R = \frac{2\pi(p_0 - p_1)}{\mu_m p} L_R$$

Для оценок $p \rightarrow \frac{1}{2}(p_0 + p_1)$ и

$$p_1 = p_0 / 3 \quad \Rightarrow \quad (p_0 - p_1) / [\frac{1}{2}(p_0 + p_1)] = 1,$$

↓

$$\lambda_m = (\pi / \mu_m) L_R \approx 3.6 L_R$$

Скорость роста этой моды

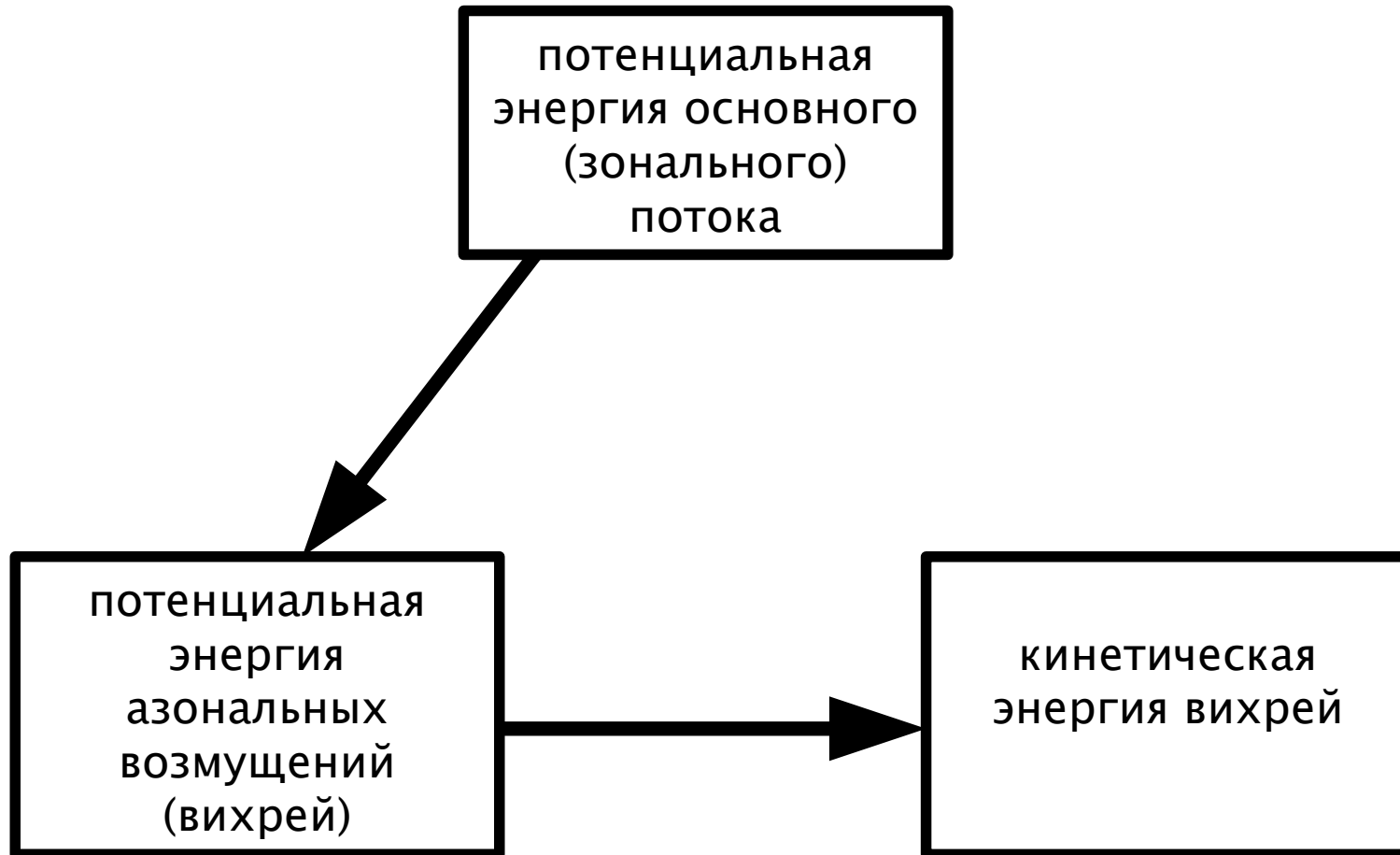
$$(k_x c_i)_m \approx 0.306 \frac{u_{01} - u_{00}}{L_R}$$

$$\tau_m = 1 / (k_x c_i)_m \approx 3.27 L_R / (u_{01} - u_{00}).$$

При $(u_{01} - u_{00}) = 10$ м/с

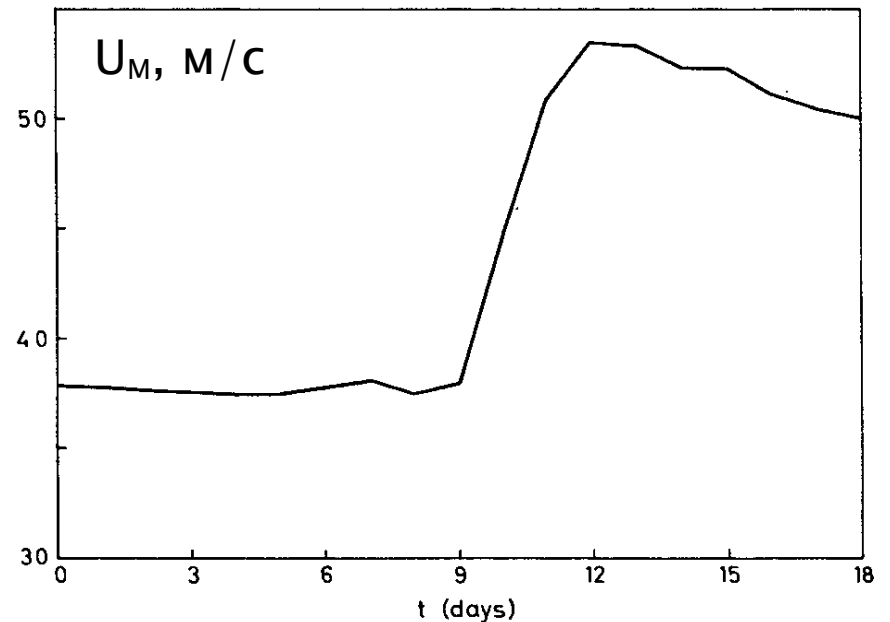
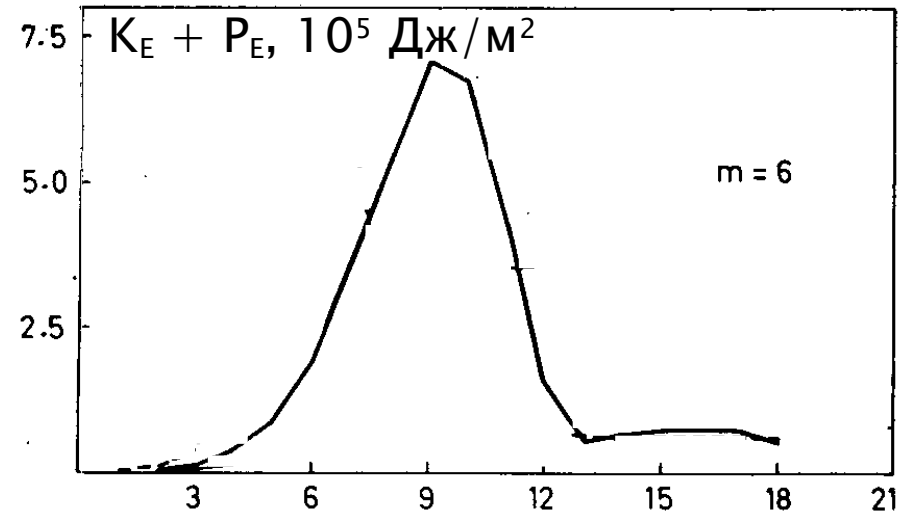
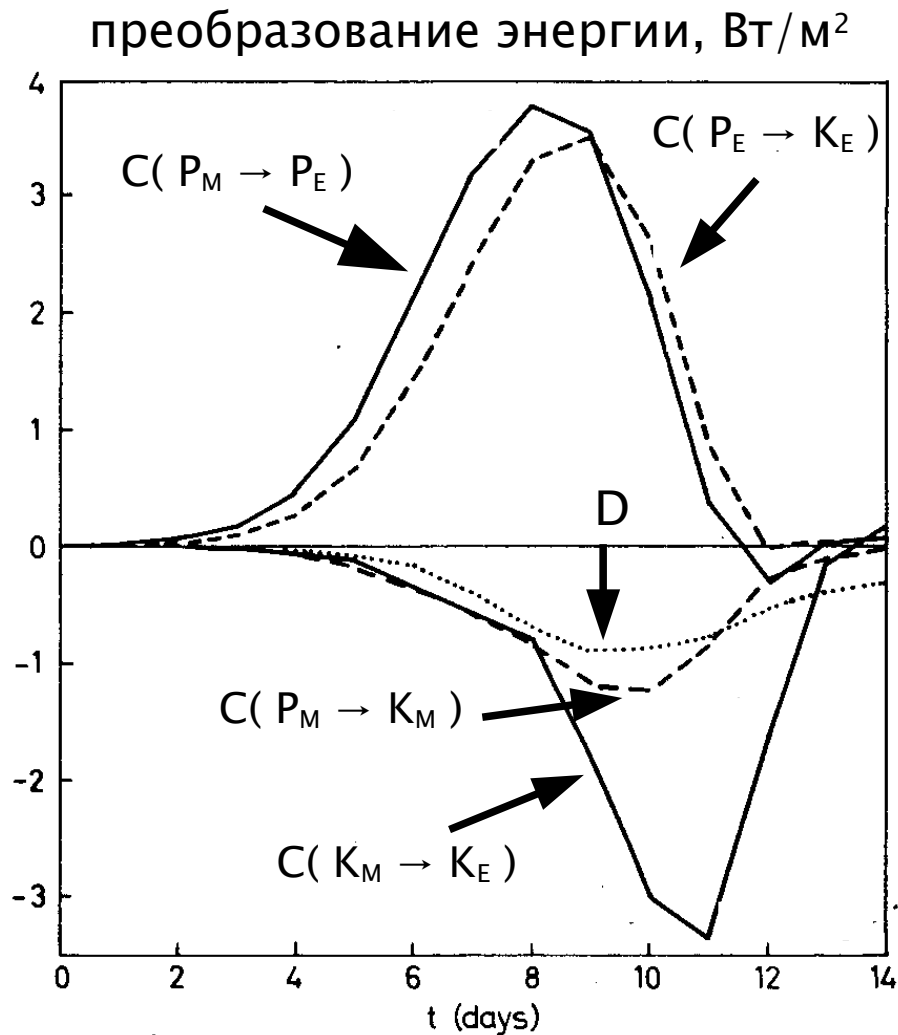
$$\tau_m = 3.8 \text{ сут.}$$

Преобразование энергии в растущей бароклинной волне



Цикл жизни бароклинных вихрей [Simmons, Hoskins, 1978]

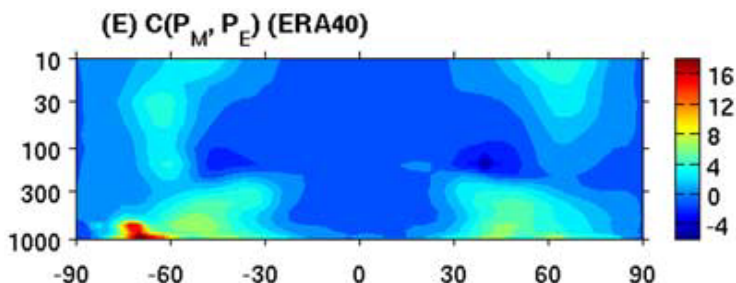
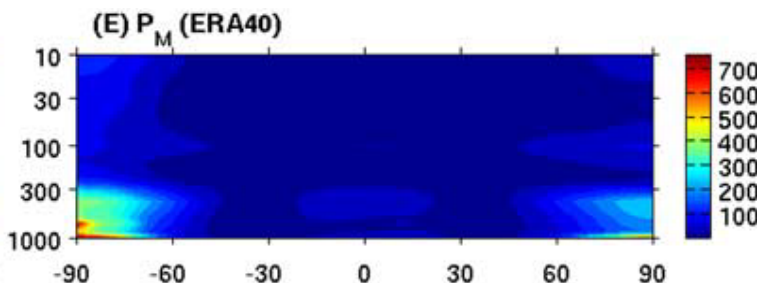
(волна с зональным волновым числом 6;
основной поток – струйное течение с центром на 45°N)



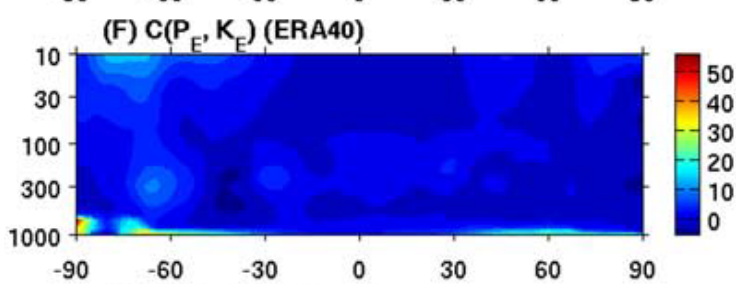
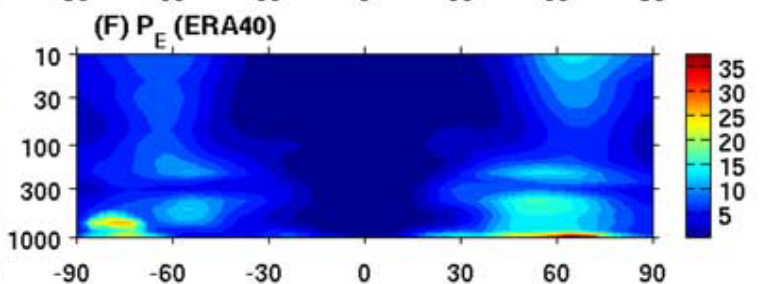
Цикл Лоренца [Li et al., 2007], среднегодовые величины (1)

Плотность энергии,
 10^5 Дж/(м² атм)

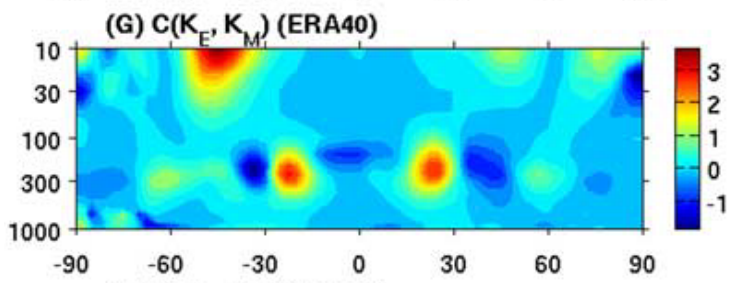
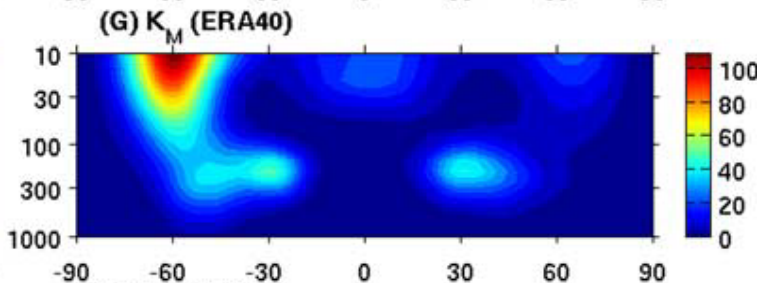
Плотность преобразования
 энергии, 10^5 Вт/(м² атм)



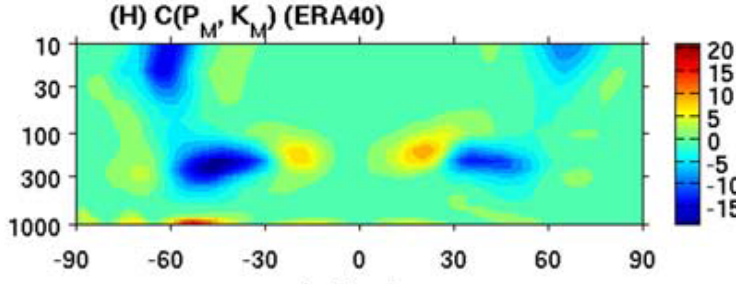
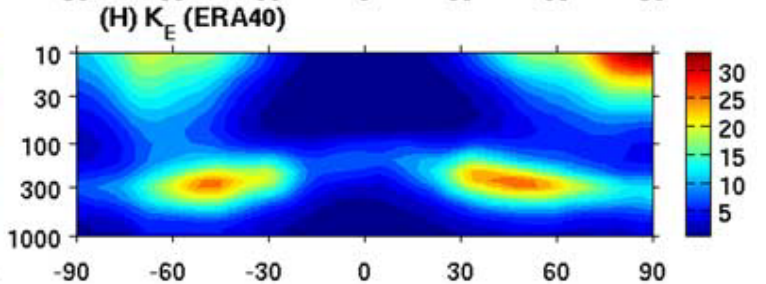
P_M – средняя
 (среднезональная)
 потенциальная
 энергия



P_E – вихревая
 (азональная)
 потенциальная
 энергия



K_M – средняя
 кинетическая
 энергия



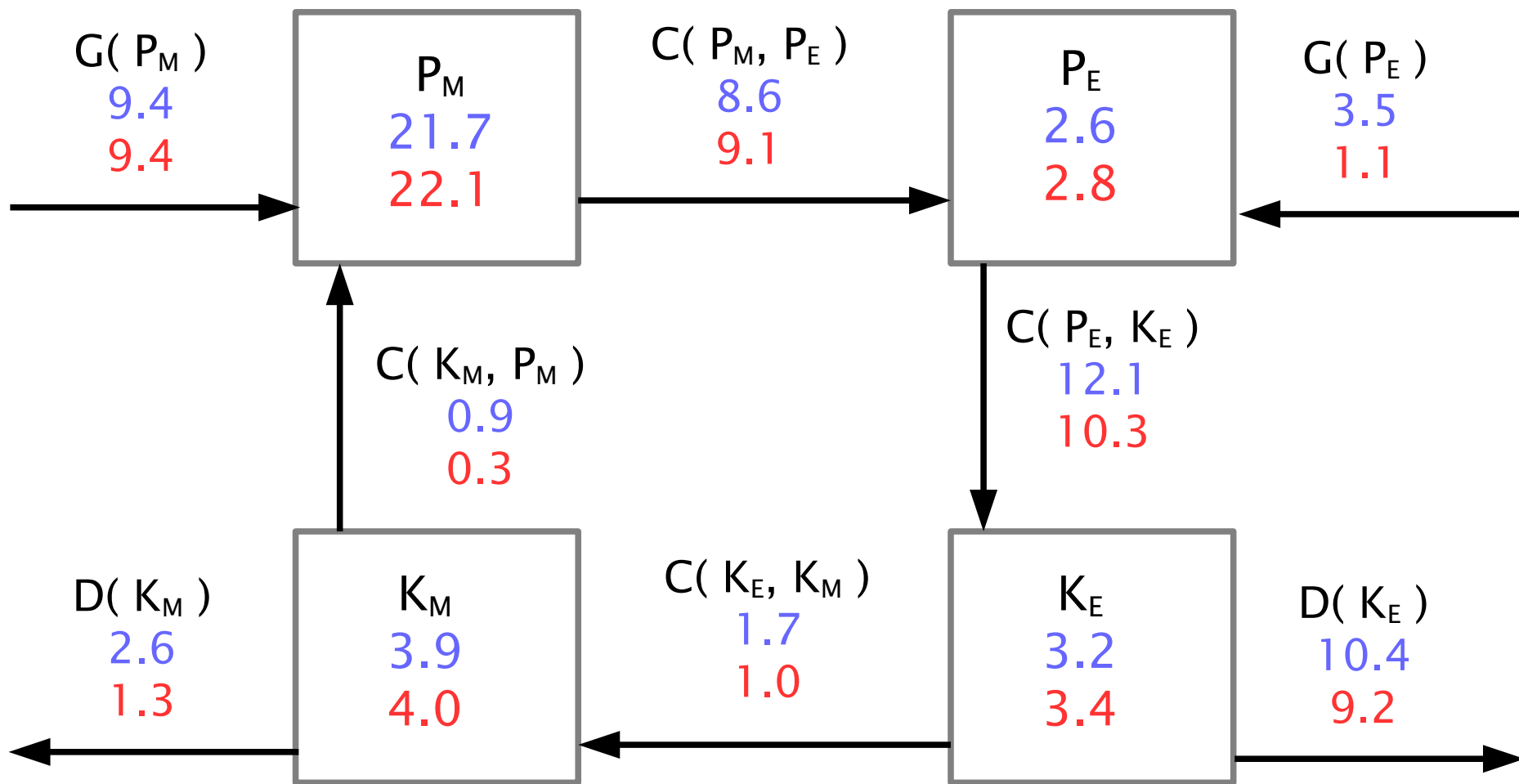
K_E – вихревая
 кинетическая
 энергия

latitude

latitude

Цикл Лоренца [Li et al., 2007] (2)

глобальные величины по данным реанализа **NCEP2** и **ERA-40**



энергия – 10^{20} Дж

преобразования энергии – 10^{14} Вт

Среднезональная циркуляция (1)

Вертикальная координата: $z = H_{\text{atm}} \ln(p_0 / p)$,
 $H_{\text{atm}} (= 8 \text{ км})$: $\rho_0(z) = \rho_0(0) \exp(- z / H_{\text{atm}})$

$$Du/Dt - fv + \partial\Phi/\partial x = X$$

$$Dv/Dt + fu + \partial\Phi/\partial y = Y$$

$$\partial\Phi/\partial z = H^{-1} RT$$

$$\partial u/\partial x + \partial v/\partial y + \rho_0^{-1} \partial(\rho_0 w)/\partial z = 0$$

$$DT/Dt + (\kappa T/H) w = J/c_p$$

Для любой переменной

$$A = \bar{A} + A'$$

$$\begin{aligned} \rho_0 \frac{DA}{Dt} &= \rho_0 \left(\frac{\partial}{\partial t} + \mathbf{V} \cdot \nabla + w \frac{\partial}{\partial z} \right) A + A \left[\nabla \cdot (\rho_0 \mathbf{V}) + \frac{\partial}{\partial z} (\rho_0 w) \right] \\ &= \frac{\partial}{\partial t} (\rho_0 A) + \frac{\partial}{\partial x} (\rho_0 Au) + \frac{\partial}{\partial y} (\rho_0 Av) + \frac{\partial}{\partial z} (\rho_0 Aw) \end{aligned}$$

Среднезональная циркуляция (2)

$$\rho_0 \frac{\overline{DA}}{Dt} = \frac{\partial}{\partial t} (\rho_0 \overline{A}) + \frac{\partial}{\partial y} \left[\rho_0 (\overline{A\bar{v}} + \overline{A'v'}) \right] + \frac{\partial}{\partial z} \left[\rho_0 (\overline{A\bar{w}} + \overline{A'w'}) \right]$$

$$\frac{\partial (\overline{\quad})}{\partial x} = 0$$

$$\overline{ab} = \overline{(\bar{a} + a')(\bar{b} + b')} = \overline{\bar{a}\bar{b}} + \overline{\bar{a}b'} + \overline{a'\bar{b}} + \overline{a'b'} = \bar{a}\bar{b} + \overline{a'b'}$$

$$\frac{\partial \bar{v}}{\partial y} + \rho_0^{-1} \frac{\partial (\rho_0 \bar{w})}{\partial z} = 0$$



$$\rho_0 \frac{\overline{DA}}{Dt} = \frac{\overline{D}}{Dt} (\rho_0 \overline{A}) + \frac{\partial}{\partial y} \left[\rho_0 (\overline{A'v'}) \right] + \frac{\partial}{\partial z} \left[\rho_0 (\overline{A'w'}) \right]$$

$$\frac{\overline{D}}{Dt} \equiv \frac{\partial}{\partial t} + \bar{v} \frac{\partial}{\partial y} + \bar{w} \frac{\partial}{\partial z}$$

Среднезональная циркуляция (3)

Итак,

$$\partial \bar{u} / \partial t - f_0 \bar{v} = -\partial \left(\overline{u'v'} \right) / \partial y + \bar{X}$$

$$\partial \bar{T} / \partial t + N^2 H R^{-1} \bar{w} = -\partial \left(\overline{v'T'} \right) / \partial y + \bar{J} / c_p$$

Частота Брента–Вяйсяля (частота колебаний частицы воздуха в поле силы тяжести)

$$N^2 \equiv \frac{R}{H} \left(\frac{\kappa T_0}{H} + \frac{dT_0}{dz} \right)$$

Среднезональная циркуляция (3)

Итак,

$$\partial \bar{u} / \partial t - f_0 \bar{v} = -\partial \left(\overline{u'v'} \right) / \partial y + \bar{X}$$

$$\partial \bar{T} / \partial t + N^2 H R^{-1} \bar{w} = -\partial \left(\overline{v'T'} \right) / \partial y + \bar{J} / c_p$$

влияние вихрей

Частота Брента-Вяйсяля (частота колебаний частицы воздуха в поле силы тяжести)

$$N^2 \equiv \frac{R}{H} \left(\frac{\kappa T_0}{H} + \frac{dT_0}{dz} \right)$$

Среднезональная циркуляция (3)

Итак,

$$\begin{aligned} \partial \bar{u} / \partial t - f_0 \bar{v} &= -\partial \left(\overline{u'v'} \right) / \partial y + \bar{X} \\ \partial \bar{T} / \partial t + N^2 H R^{-1} \bar{w} &= -\partial \left(\overline{v'T'} \right) / \partial y + \bar{J} / c_p \end{aligned}$$

← влияние вихрей

Частота Брента–Вяйсяля (частота колебаний частицы воздуха в поле силы тяжести)

$$N^2 \equiv \frac{R}{H} \left(\frac{\kappa T_0}{H} + \frac{dT_0}{dz} \right)$$

Геострофическое приближение

$$f_0 \bar{u} = -\partial \bar{\Phi} / \partial y$$

Комбинируя с уравнением гидростатики

$$f_0 \partial \bar{u} / \partial z + R H^{-1} \partial \bar{T} / \partial y = 0$$

Среднезональная циркуляция (3)

Итак,

$$\begin{aligned} \partial \bar{u} / \partial t - f_0 \bar{v} &= -\partial \left(\overline{u'v'} \right) / \partial y + \bar{X} \\ \partial \bar{T} / \partial t + N^2 H R^{-1} \bar{w} &= -\partial \left(\overline{v'T'} \right) / \partial y + \bar{J} / c_p \end{aligned}$$

← влияние вихрей

Частота Брента–Вяйсяля (частота колебаний частицы воздуха в поле силы тяжести)

$$N^2 \equiv \frac{R}{H} \left(\frac{\kappa T_0}{H} + \frac{dT_0}{dz} \right)$$

Геострофическое приближение

$$f_0 \bar{u} = -\partial \bar{\Phi} / \partial y$$

Комбинируя с уравнением гидростатики

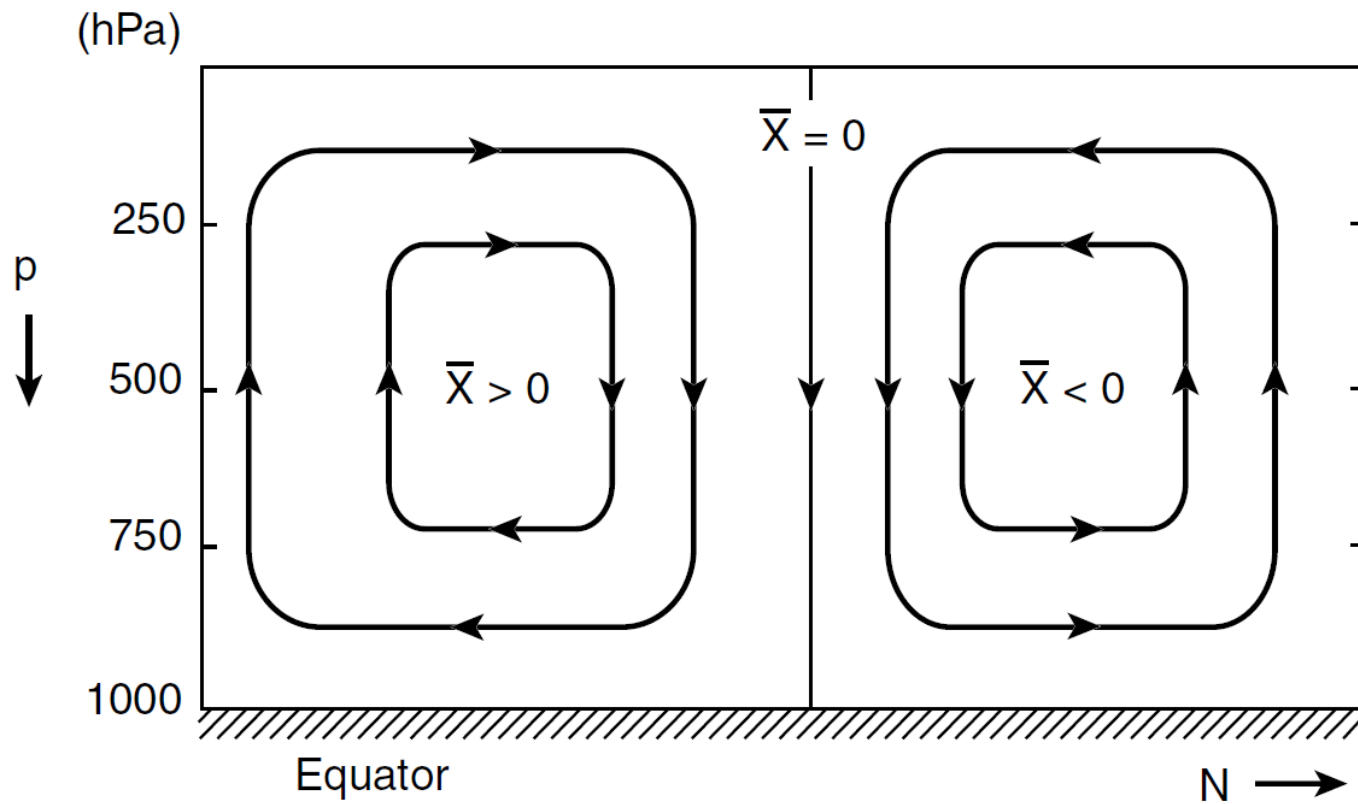
$$f_0 \partial \bar{u} / \partial z + R H^{-1} \partial \bar{T} / \partial y = 0$$

источник среднезональной
циркуляции –
меридиональный градиент
температуры

Среднезональная циркуляция (4)

Меридиональная функция тока $\bar{\chi}$:

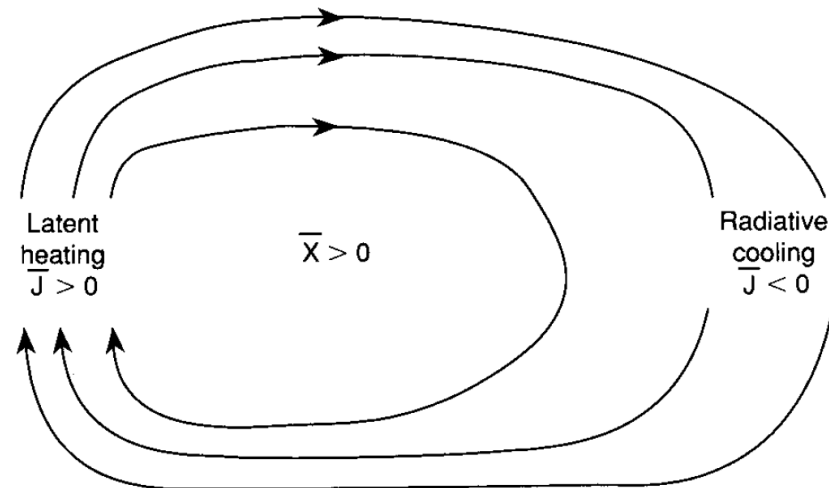
$$\rho_0 \bar{v} = -\frac{\partial \bar{\chi}}{\partial z}; \quad \rho_0 \bar{w} = \frac{\partial \bar{\chi}}{\partial y}$$



Среднезональная циркуляция: наблюдения (тропики)

$$\frac{\partial^2 \bar{\chi}}{\partial y^2} + \frac{f_0^2}{N^2} \rho_0 \frac{\partial}{\partial z} \left(\frac{1}{\rho_0} \frac{\partial \bar{\chi}}{\partial z} \right) = \frac{\rho_0}{N^2} \left[\overbrace{\frac{\partial}{\partial y} \left(\frac{\kappa \bar{J}}{H} \right)}^{\text{DH}} - \overbrace{\frac{R}{H} \frac{\partial}{\partial y} \left(\overline{v'T'} \right)}^{\text{EHF}} \right] - f_0 \left[\underbrace{\frac{\partial^2}{\partial z \partial y} \left(\overline{u'v'} \right)}_{\text{EMF}} - \underbrace{\frac{\partial \bar{\chi}}{\partial z}}_{\text{DF}} \right]$$

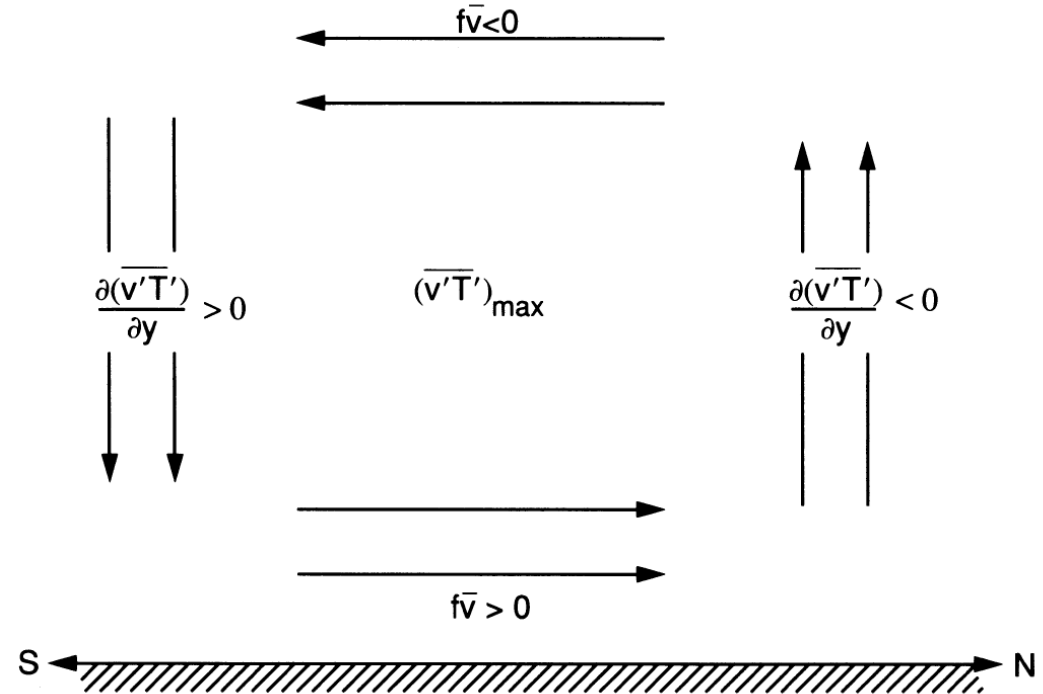
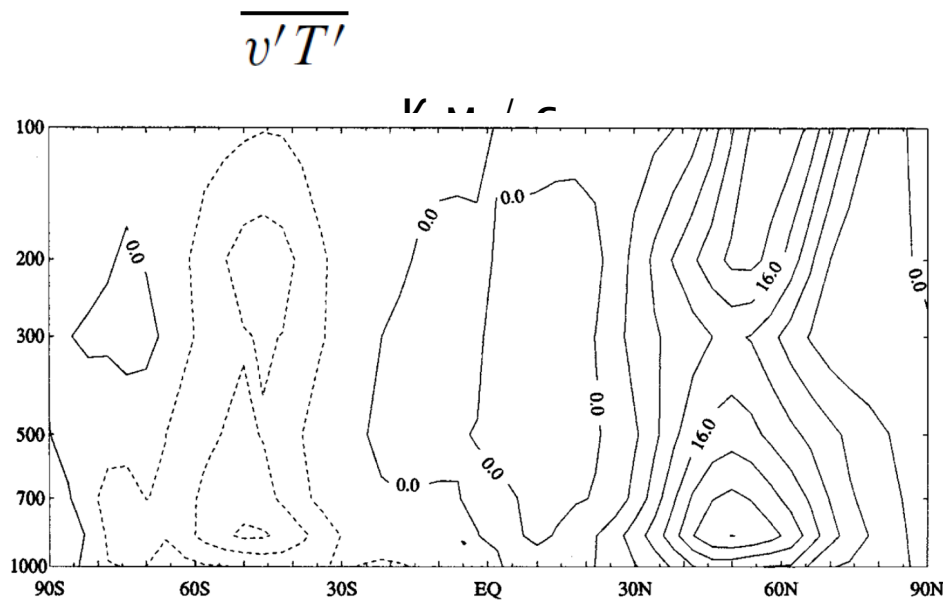
$$\bar{\chi} \propto - \frac{\partial}{\partial y} (\text{diabatic heating}) + \frac{\partial^2}{\partial y^2} (\text{large-scale eddy heat flux}) + \frac{\partial^2}{\partial y \partial z} (\text{large-scale eddy momentum flux}) + \frac{\partial}{\partial z} (\text{zonal drag force})$$



Среднезональная циркуляция: вклад потоков тепла (вне тропиков, СП)

$$\bar{\chi} \propto -\frac{\partial}{\partial y} (\text{diabatic heating}) + \frac{\partial^2}{\partial y^2} (\text{large-scale eddy heat flux})$$

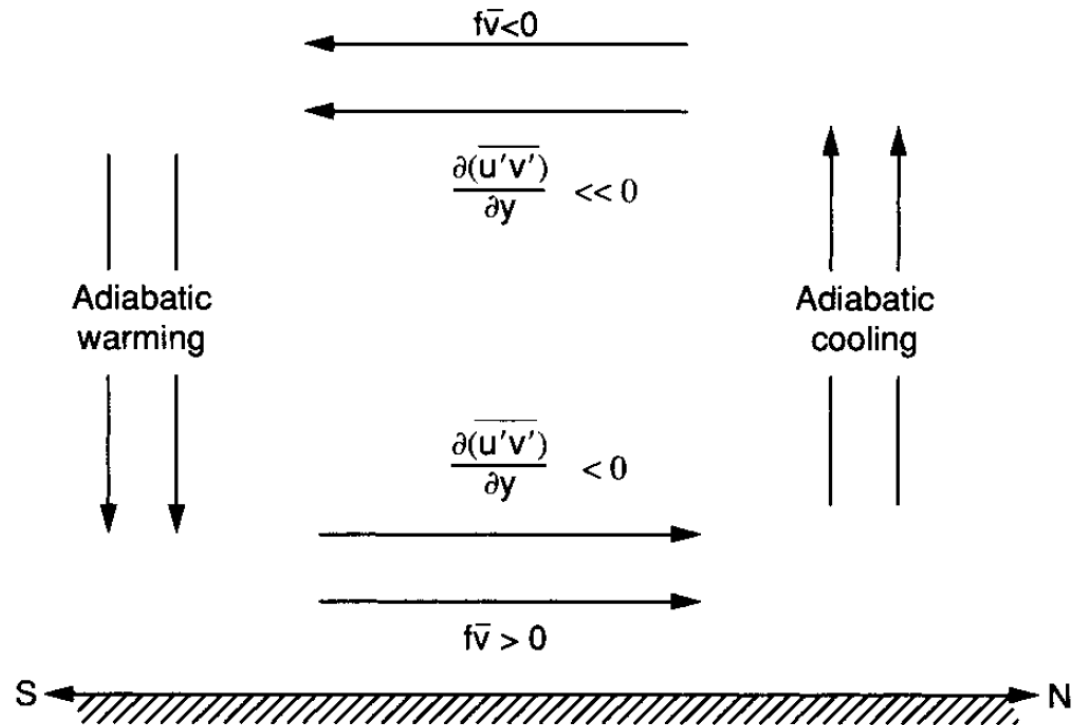
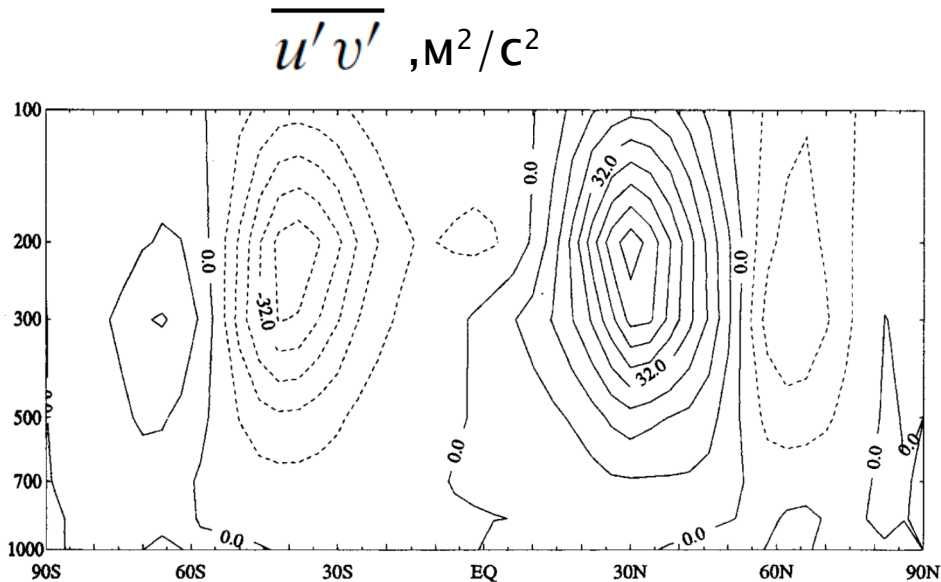
$$+ \frac{\partial^2}{\partial y \partial z} (\text{large-scale eddy momentum flux}) + \frac{\partial}{\partial z} (\text{zonal drag force})$$



Среднезональная циркуляция: вклад потоков импульса (вне тропиков, СП)

$$\bar{\chi} \propto -\frac{\partial}{\partial y} (\text{diabatic heating}) + \frac{\partial^2}{\partial y^2} (\text{large-scale eddy heat flux})$$

$$+ \frac{\partial^2}{\partial y \partial z} (\text{large-scale eddy momentum flux}) + \frac{\partial}{\partial z} (\text{zonal drag force})$$



Среднезональная циркуляция: наблюдения

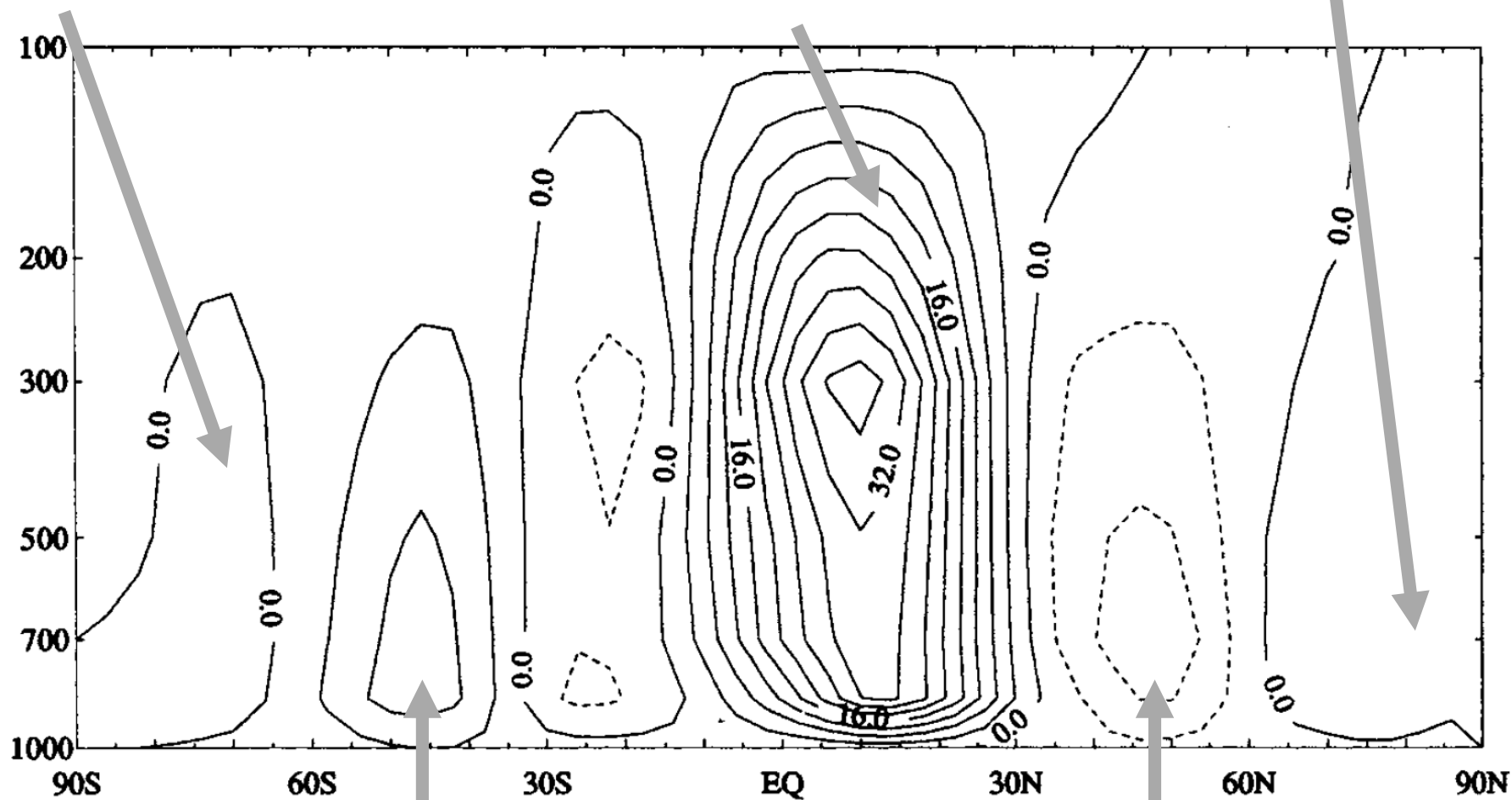
функция тока χ , 10^{12} кг м⁻¹ с⁻¹,

зима Северного полушария

полярная ячейка
(термическая)

ячейка Хэдли
(термическая)

полярная ячейка
(термическая)



ячейка Ферреля
(вихревая, обратная)

ячейка Ферреля
(вихревая, обратная)

Оценка предела предсказуемости погоды

Кинетическая энергия атмосферы $\sim 10^{21}$ Дж

(кинетическая энергия отдельных циклонов на 2 порядка меньше)

Скорость преобразования кинетической энергии в синоптических движениях

$$\partial E / \partial t \sim 10^{14} \text{ Вт}$$

Масштаб времени, связанный с этим преобразованием

$$\tau = \left(\frac{1}{E} \frac{\partial E}{\partial t} \right)^{-1} = 10^6 \text{ с} = 1-2 \text{ нед.}$$

Общая масса воды в атмосфере $M_w = 1.3 \cdot 10^{16}$ кг,

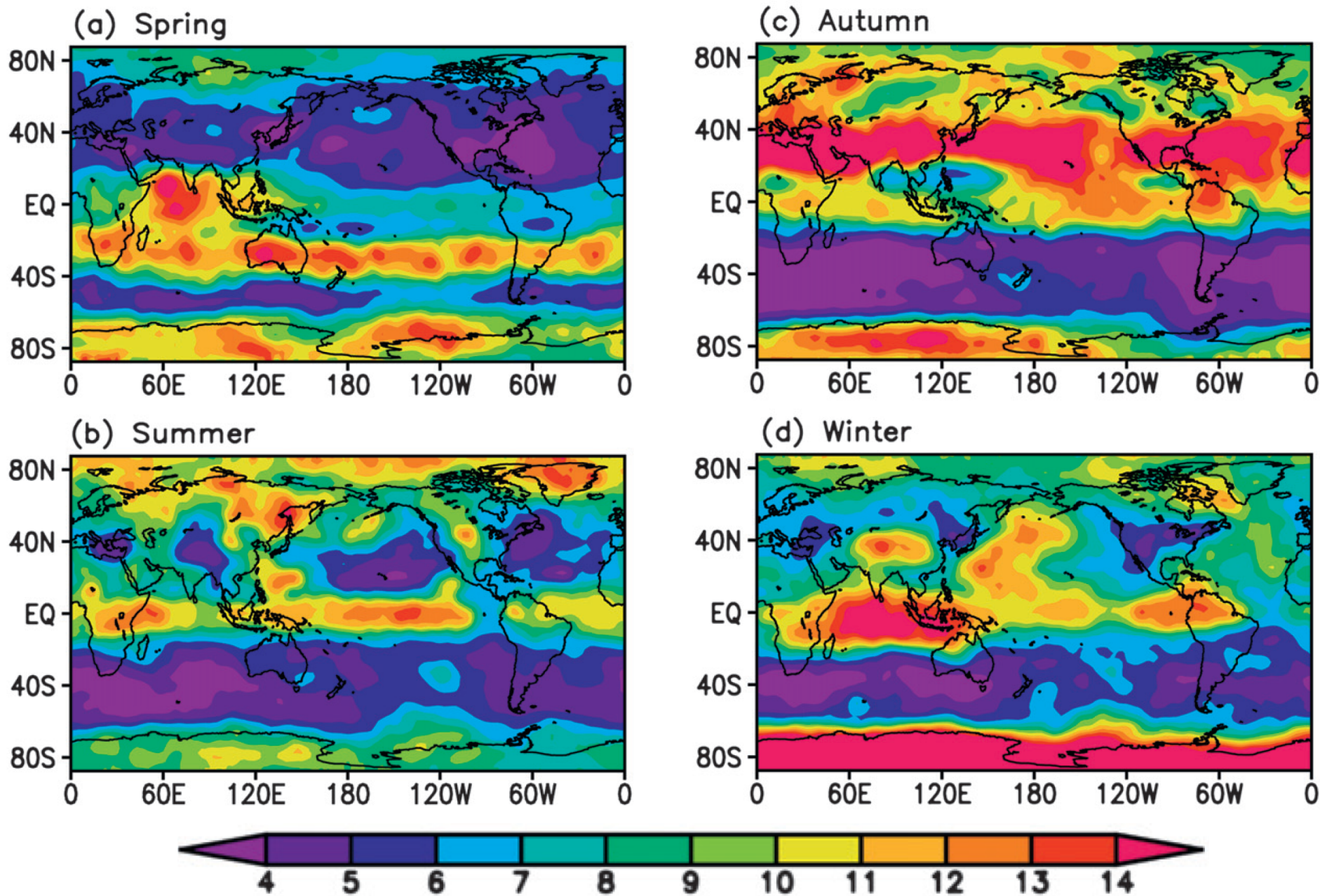
среднее количество осадков на земном шаре $P_g = 2$ мм/сут = $1.0 \cdot 10^{15}$ кг/сут.

Время пребывания воды в атмосфере Земли

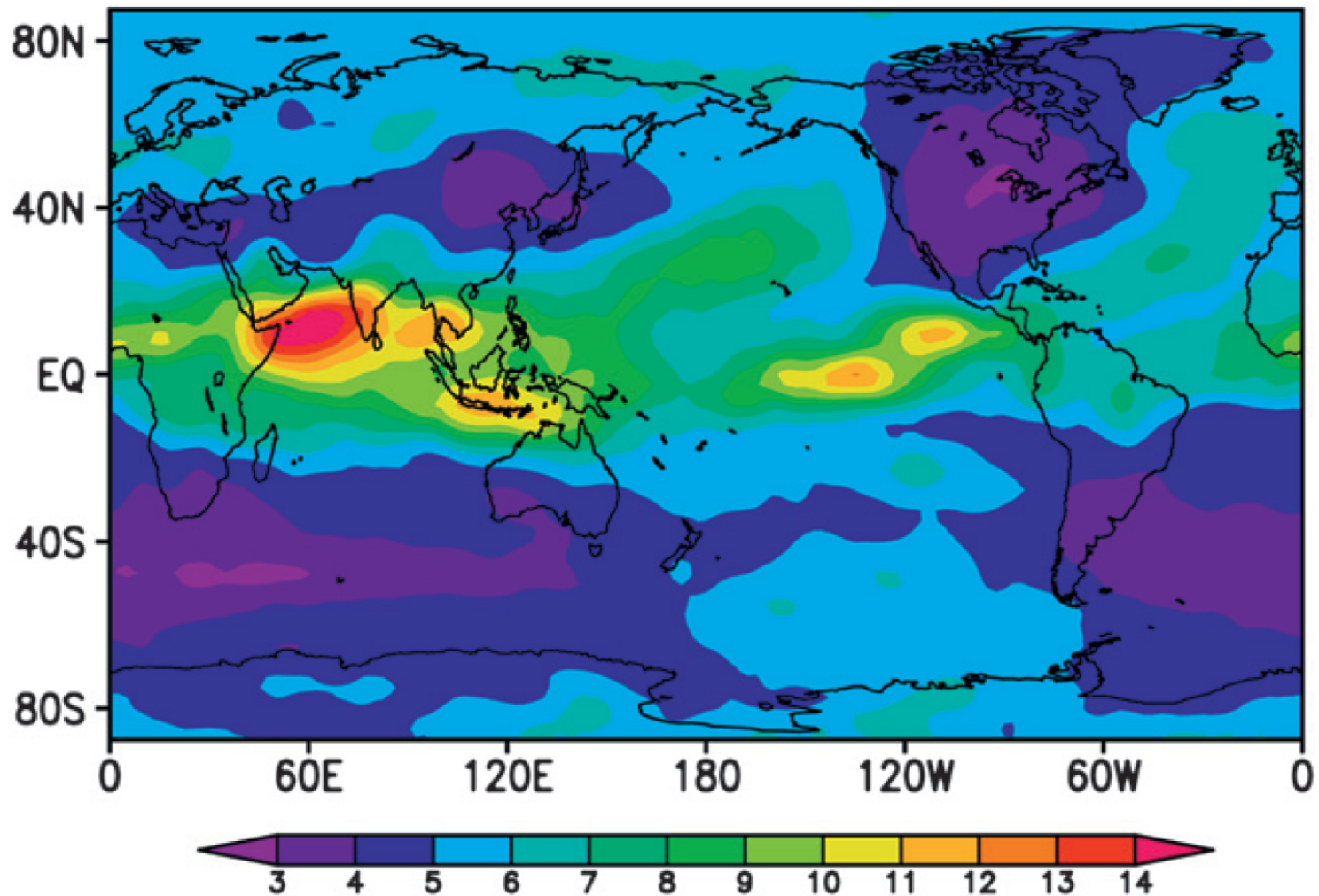
$$\tau_w = M_w / P_g = 13 \text{ сут.} \approx 2 \text{ нед.}$$

Оценка предела предсказуемости [Li, Ding, 2011]

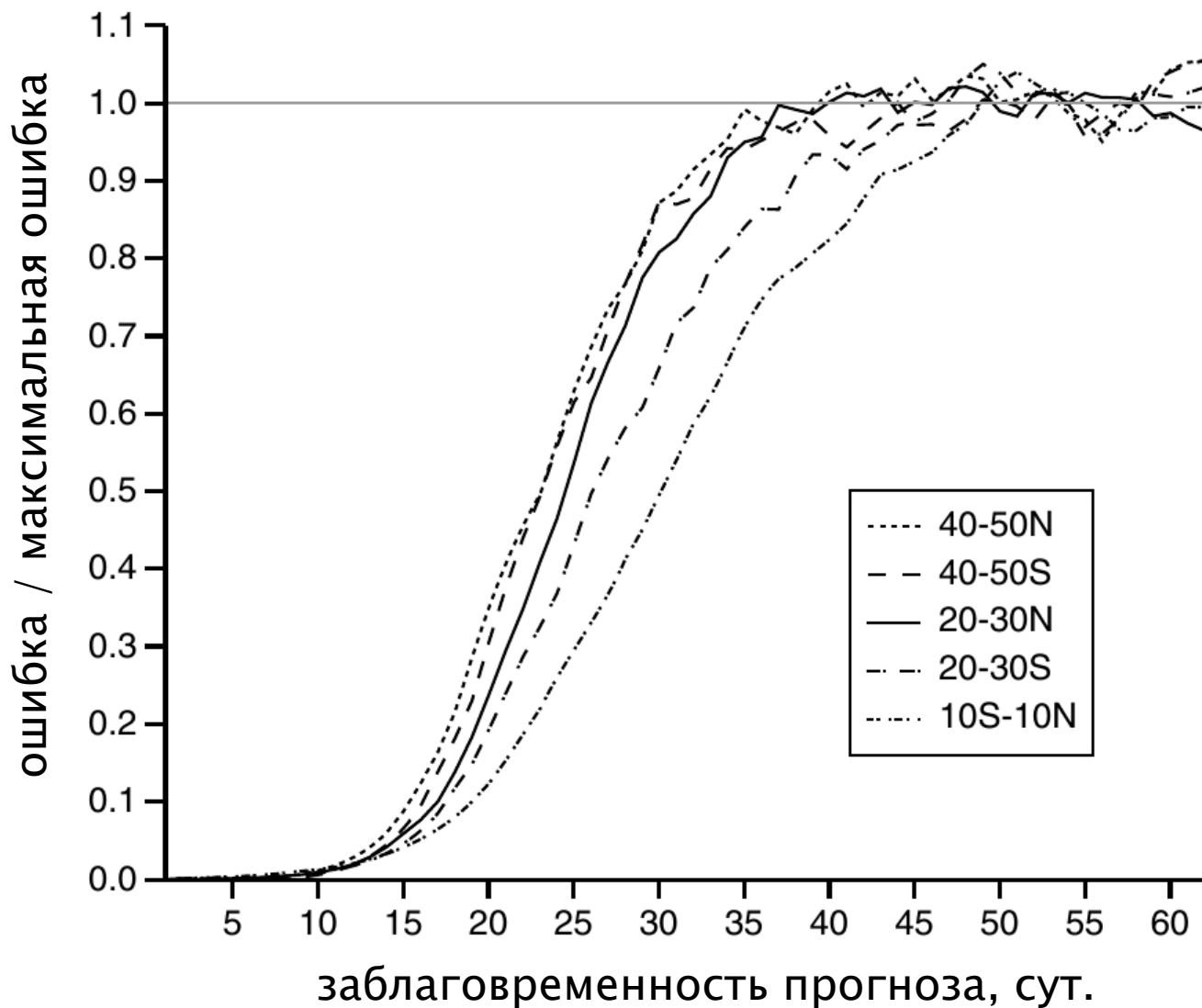
Среднесезонная геопотенциальная высота на уровне 500 гПа



Оценка предела предсказуемости [Li, Ding, 2011]
3. Среднегодовая скорость ветра на уровне 850 гПа



Насыщение ошибки прогноза в зависимости от его срока [Warner, 2011: Numerical Weather and Climate Prediction]



причина насыщения –
ограничение по энергии
синоптических возмущений



переход от
предсказуемости 1 рода к
предсказуемости 2 рода